

2.3.3. Внешняя оболочка «электрона»

Опираясь на «технические» идеи и математические «инструменты», изложенные в предыдущем пункте, рассмотрим усредненные метрико-динамические контуры внешней оболочки «электрона», исходя из того, что в рамках 3-го приближения теории «упругого» $\lambda_{-12 \div -16}$ -вакуума она описывается обобщенными метриками Шварцшильда – Шипова (2.3.16) и (2.3.17):

$$ds_1^{(-a)2} = \left(1 - \frac{r_e}{r}\right) c^2 dt^2 - \frac{dr^2}{\left(1 - \frac{r_e}{r}\right)} - r^2 (d\theta^2 + \sin^2 \theta d\varphi^2), \quad (2.3.54)$$

$$ds_2^{(-b)2} = \left(1 + \frac{r_e}{r}\right) c^2 dt^2 - \frac{dr^2}{\left(1 + \frac{r_e}{r}\right)} - r^2 (d\theta^2 + \sin^2 \theta d\varphi^2), \quad (2.3.55)$$

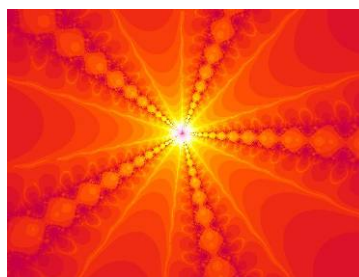
где $r_e = 2,81 \cdot 10^{-13}$ см – усредненный радиус ядра «электрона».

Более правильно рассматривать все четыре метрики (2.3.16) – (2.3.19), но для внешней оболочки «электрона» (т. е. при $r \in [r_e, R_{\text{в}}]$) метрики (2.3.18) – (2.3.19) приводят к комплексному характеру, приведенных ниже, вакуумных характеристик, что свидетельствует о том, что они отвечают за вращательные составляющие этих характеристик. В данной работе Алсигна рассматривает упрощенный случай, когда полагается, что для области $r \in [r_e, R_{\text{в}}]$ метрики (2.3.18) – (2.3.19) равны нулю. Поэтому рассматриваемые ниже процессы будут носить не спиральный, а радиальный характер:



<http://ftp.bspu.unibel.by/>

Спиральный характер процессов
при учете всех 4-х метрик
(2.3.16) – (2.3.19)



<http://mieknarod.ru/>

Радиальный характер процессов
при учете только 2-х метрик
(2.3.16) – (2.3.17)

2.3.3.1. Деформации внешней оболочки «электрона»

О деформациях внешней оболочки «электрона» будем судить по относительному удлинению (2.1.30) или (2.3.27)

$$l_i^{(-)} = \sqrt{1 + \frac{g_{ii}^{(-)} - g_{ii}^{0(-)}}{g_{ii}^{0(-)}}} - 1. \quad (2.3.57)$$

В метрике (2.3.54) за деформацию актуального состояния внешней стороны $\lambda_{-12 \div -16}$ -вакуума отвечают следующие диагональные компоненты метрического тензора

$$g_{11}^{(-a)} = -1/(1-r_e/r) = -r_e/(r-r_e), \quad g_{22}^{(-a)} = -r^2, \quad g_{33}^{(-a)} = -r^2 \sin^2 \theta, \quad (2.3.58)$$

а в метрике (2.3.55):

$$g_{11}^{(-b)} = -1/(1+r_e/r) = -r_e/(r+r_e), \quad g_{22}^{(-b)} = -r^2, \quad g_{33}^{(-b)} = -r^2 \sin^2 \theta. \quad (2.3.59)$$

Арифметические средние от компонент метрических тензоров (2.3.58) и (2.3.59)

$$g_{ii}^{(-)} = \frac{1}{2} (g_{ii}^{(-a)} + g_{ii}^{(-b)}) \quad (2.3.60)$$

равны

$$g_{11}^{(-)} = -r^2/(r^2 - r_e^2), \quad g_{22}^{(-)} = -r^2, \quad g_{33}^{(-)} = -r^2 \sin^2 \theta. \quad (2.3.61)$$

Исходное состояние (шельт) того же участка $\lambda_{-12 \div -16}$ -вакуума описывается метрикой (2.3.20) с соответствующими компонентами метрического тензора

$$g_{11}^{0(-)} = -1, \quad g_{22}^{0(-)} = -r^2, \quad g_{33}^{0(-)} = -r^2 \sin^2 \theta. \quad (2.3.62)$$

Подставляя компоненты (2.3.61) и (2.3.62) в (2.3.57), получим

$$l_r^{(-)} = \frac{\Delta r}{r} - 1 = \sqrt{\frac{r^2}{r^2 - r_e^2}} - 1, \quad (2.3.63)$$

$$l_\theta^{(-)} = 0, \quad (2.3.64)$$

$$l_\varphi^{(-)} = 0. \quad (2.3.65)$$

Откуда видно, что во внешней оболочке покоящегося сферически симметричного $\lambda_{-12 \div -16}$ -вакуумного образования («электрона») деформации имеют место только в радиальном направлении.

График функции (2.3.63) представлен на рис. 2.3.3.

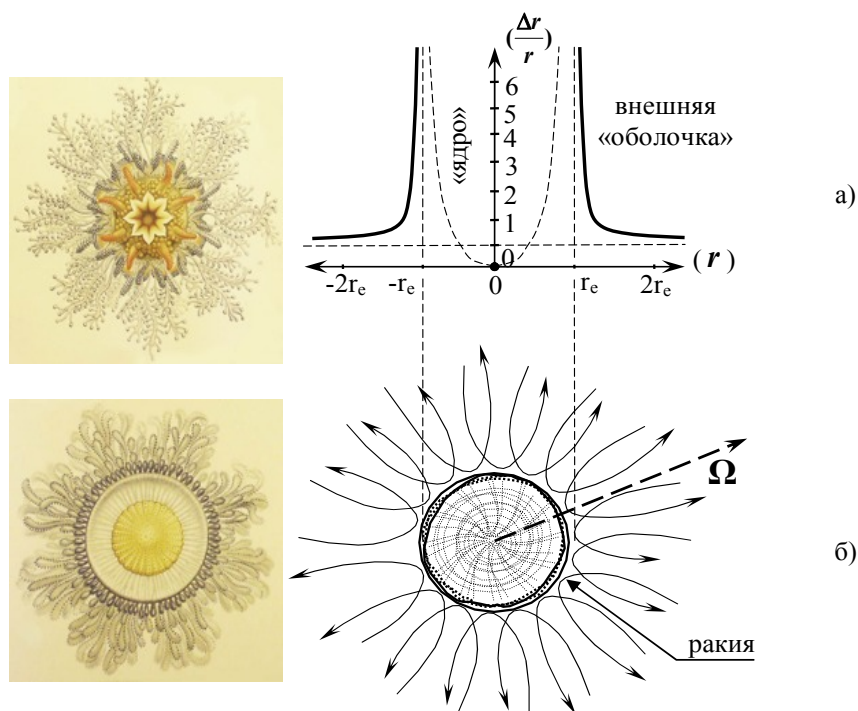
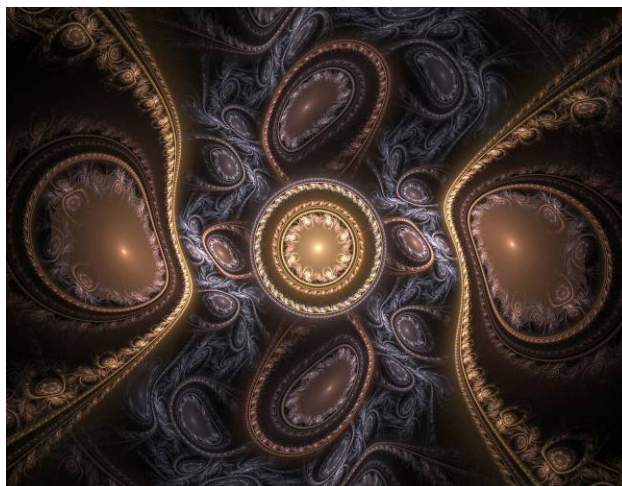


Рис. 2.3.3. Деформация внешней оболочки «электрона» Слева приведены иллюстрации из www.aires.spb.ru, показывающие на сколько аппарат третьего приближения теории «упругого» вакуума примитивен по отношению сложнейшим переплетениям реальных токов Бытия)

Из этого графика видно, что усредненное относительное удлинение $l_r^{(-)}$ внешней оболочки «электрона» на большом расстоянии от его ядра (т. е. при $r \gg r_e \approx 2,81 \cdot 10^{-13}$ см) практически равно нулю.

По мере приближения к ракии «электрона» (т. е. при $r \sim r_e$) усредненное относительное удлинение $l_r^{(-)}$ вакуума увеличивается. Далее в бездно-трещине, отделяющей ракию «электрона» от его ядра (т. е. при $r \approx r_e$), функция (2.3.63) $l_r^{(-)}$ устремляется к бесконечности.

При $r < r_e$ функция (2.3.63) становится мнимой – это математический «намек» на то обстоятельство, что с точки зрения внешнего наблюдателя ядро «электрона» с радиусом $r_e \approx 2,81 \cdot 10^{-13}$ см находится в постоянном вращательном состоянии.



<http://forum.krasnoznamensk.ru/>



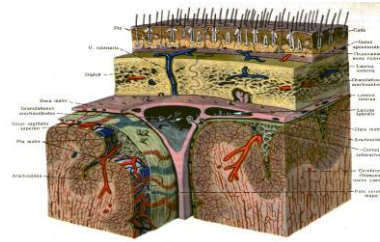
<http://forum.krasnoznamensk.ru/>

Иллюстрация переплетения вакуумных токов
в ракие, окружающей ядро «электрона»

Используемый здесь математический аппарат третьего приближения теории «упругого» вакуума очень груб для описания границы между внешней оболочкой и ядром «электрона» ($r \approx r_e$). Эта граница (ракия) чрезвычайно сложна и многослойна.

Чтобы осознать ничтожность и грубость используемого нами математического аппарата посмотрите в изданиях по биологии, как устроены мембраны и оболочки в биологических тканях.

Следуя терминологии ТОРЫ, многослойную мембрану между вакуумными областями с различными топологическими структурами Алсигна называет «ракией».



Участок оболочки
головного мозга

Расстояние между двумя точками r_1 и r_2 усредненной внешней оболочки «электрона» определяется выражением [4]

$$r_2 - r_1 = \int_{r_1}^{r_2} \sqrt{-g_{11}^{(-)}} dr. \quad (2.3.66)$$

Подставив в (2.3.66) усредненную компоненту $g_{11}^{(-)}$ из (2.3.61), получим

$$r_2 - r_1 = \int_{r_1}^{r_2} \frac{r dr}{\sqrt{r^2 - r_e^2}} = \sqrt{r^2 - r_e^2} \Big|_{r_1}^{r_2}. \quad (2.3.67)$$

При $r_1 = 0$ и $r_2 = \infty$ имеем

$$\sqrt{r^2 - r_e^2} \Big|_0^{\infty} = \sqrt{\infty^2 - r_e^2} - \sqrt{-1} r_e. \quad (2.3.68)$$

Чтобы понять этот результат, найдем сначала величину отрезка между точками $r_1 = 0$ и $r_1 = r_e$:

$$\sqrt{r^2 - r_e^2} \Big|_0^{r_e} = -\sqrt{-r_e^2} = -\sqrt{-1} r_e = -i r_e. \quad (2.3.69)$$

Длина этого отрезка равна радиусу ядра электрона r_e , а мнимость этого результата «намекает» на то, что это ядро вращается.

Получим еще один результат

$$\sqrt{r^2 - r_e^2} \Big|_{r_e}^{\infty} = \sqrt{\infty^2 - r_e^2}. \quad (2.3.70)$$

Если бы исследуемая область внешней стороны $\lambda_{-12 \div -16}$ -вакуума была не деформирована, то среднее расстояние между точками $r_2 = \infty$ и $r_1 = r_e$ было бы равно

$$r_2 - r_1 = \infty - r_e, \quad (2.3.71)$$

а в нашем случае, согласно (2.3.70), то же расстояние равно

$$r_2 - r_1 = \sqrt{\infty^2 - r_e^2}. \quad (2.3.72)$$

Вычитая (2.3.71) из (2.3.72), обнаруживаем, что

$$\sqrt{\infty^2 - r_e^2} - (\infty - r_e) \approx r_e.$$

Этот результат показывает, что протяженность внешней стороны $\lambda_{-12 \div -16}$ -вакуума как бы раздвигается во все стороны от некой центральной точки на расстояние $\sim r_e$, образуя при этом полость с тем же радиусом. Это похоже на воздушный пузырек на поверхности воды.



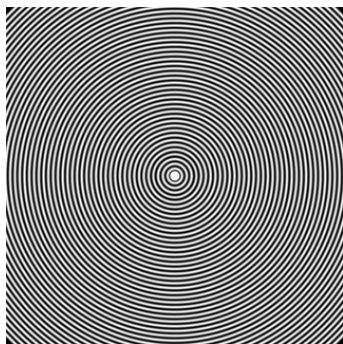
<http://fotki.yandex.ru/>
Воздушный пузырек на поверхности воды

Удивительно, но кабалистическое учение Аризаля именно так и описывает рождение нашей Вселенной. В книгах «Древо Жизни» рава Хаима Виталя и в «Даат теуна» Бен Иш Хая (последователей Аризаля) написано, что сначала ЭЙН СОФ Баруху (БЕСКОНЕЧНЫЙ) Сконцентрировал часть бесконечного, все равномерно заполняющего СВЕТА в какой-то точке. Затем эта точка разлетелась во все стороны, образовав Полость (Утробу), в которой и Начался Процесс Творения посредством дозированной подачи СВЕТА в этот «пустой» объем с помощью луча (пуповины) через некое отверстие (мембранный канал) в оболочке данной «замкнутой» Полости.

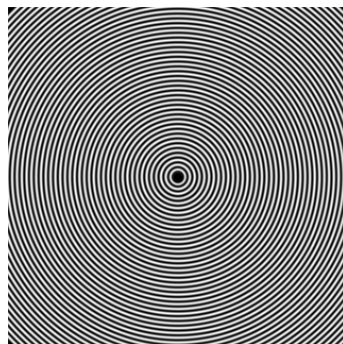


<http://hz.uz/>

Вакуумный пузырь



«Позитрон»



«Электрон»



<http://demiart.ru/>

Видение внешней оболочки «электрона»
«газами» третьего приближения
теории «упругого» $\lambda_{-12 \div -16}$ - вакуума



<http://www.nowa.cc/>



<http://forum.krasnoznamensk.ru/>

Видение внешней оболочки и ракии «электрона»
«газами» фрактальных множеств

2.3.3.2. Скорость движения токов во внешней оболочке покоящегося «электрона». Субконт и антисубконт

Как было показано в п. 2.3.2. [см. (2.3.38) – (2.3.44)], информация о движении *внешней* стороны $\lambda_{-12 \div -16}$ -вакуума во внешней оболочке «электрона» содержится в нулевых компонентах метрического тензора из метрик (2.3.54) и (2.3.55)

$$g_{00}^{(-a)} = 1 - r_e/r \quad \text{и} \quad g_{00}^{(-b)} = 1 + r_e/r. \quad (2.3.73)$$

Среднее арифметическое от этих компонентов равно:

$$g_{00}^{(-)} = \frac{1}{2} (g_{00}^{(-a)} + g_{00}^{(-b)}) = \frac{1}{2} [(1 - r_e/r) + (1 + r_e/r)] = 1. \quad (2.3.74)$$

Это означает, что в среднем никакого движения во внешней оболочке «электрона» не происходит.

С другой стороны, последовательно сравнивая нулевые компоненты (2.3.73) с (2.3.41)

$$1 - r_e/r = 1 - v_r^2/c^2 \quad (2.3.75)$$

и

$$1 + r_e/r = 1 - v_r^2/c^2, \quad (2.3.76)$$

получим соответственно

$$v_r^{(-a)} = (c^2 r_e/r)^{1/2} \quad (2.3.77)$$

и

$$v_r^{(-b)} = -(c^2 r_e/r)^{1/2}. \quad (2.3.78)$$

Это говорит о том, что во внешней оболочке «электрона» имеют место два усредненных встречных течения в радиальном направлении с одинаковыми, но взаимно противоположными скоростями $v_r^{(-a)}$ и $v_r^{(-b)}$, которые в среднем практически полностью компенсируют проявления друг друга

$$\frac{1}{2} (v_r^{(-a)} + v_r^{(-b)}) = 0. \quad (2.3.79)$$

Для облегчения восприятия исследуемых процессов введем два вспомогательных понятия: «**субконт**» (сокращение от «субстанциональный континуум») и «**антисубконт**». Понятия «субконт» и «антисубконт» были введены в [6].

Будем рассматривать **субконт** и **антисубконт**, как соответственно «артериальный» и «венозный» потоки во внешней стороне $\lambda_{-12 \div -16}$ -вакуума. Условно будем полагать, что **субконт** – это некая упруго-пластическая среда красного цвета, движущаяся со скоростью $v_r^{(-a)}$, а **антисубконт** – это аналогичная по свойствам антисреда синего цвета, движущаяся со скоростью $v_r^{(-b)}$.

Из выражений (2.3.77) видно, что *субконт* начинает движение от ракии «электрона» (т. е. практически от его ядра с радиусом r_e) со скоростью близкой к скорости света $v_r^{(-a)} \approx c$. По мере удаления от ядра скорость *субконта* убывает обратно пропорционально корню квадратному от расстояния ($r^{-1/2}$).

Согласно второму выражению (2.3.78), *антисубконт* начинает течение из глубины Вселенной практически с нулевой скоростью $v_r^{(-b)} = 0$. Далее, по мере приближения к ядру «электрона» *антисубконт* увеличивает скорость, и со скоростью близкой к скорости света $v_r^{(-b)} \approx c$ «проваливается» в бездно-трещину, окружающую ядро «электрона». На рис. 2.3.4 представлена попытка воссоздать приближенную картину притока *антисубконта* к ракии «электрона» и оттока *субконта* от нее.

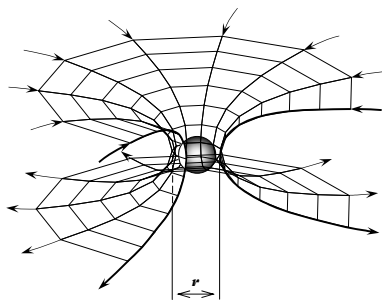


Рис. 2.3.4. Попытка воссоздать схематическую картину притока *антисубконта* и оттока *субконта* к/от ракии «электрона»

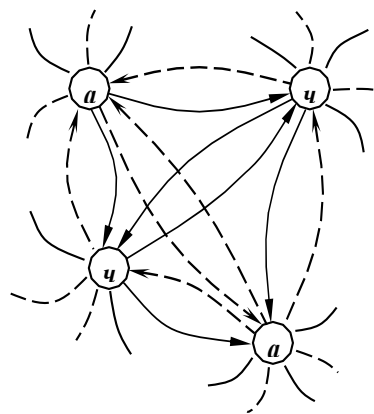


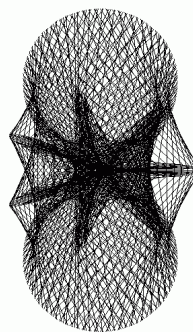
Рис. 2.3.5. Циркуляция субконт - антисубконтных потоков между ракиями «частиц» и «античастиц»:

- течения субконта,
- - - течения антисубконта

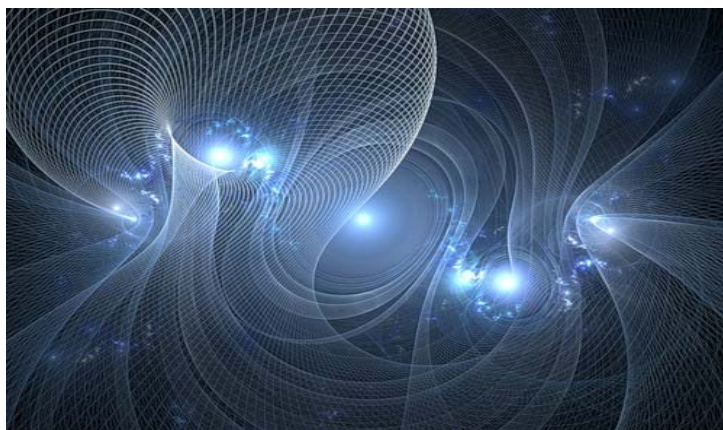
Алсигна видит, что «бездонные воронки» в протяженности $\lambda_{-12 \div -16}$ -вакуума могут быть, но эти «воронки» не ведут в «пропасть», а лишь выворачивают *венозные* (притекающие) токи одной из сторон рассматриваемого участка $\lambda_{-12 \div -16}$ -вакуума в ее *артериальные* (оттекающие) токи.

Свободного, покоящегося «электрона» в Природе не существует. «Электрон» связан с другими окружающими его «частицами» и «античастицами» (см. рис. 2.3.5), между которыми циркулируют *субконт* – *антисубконтные* токи.

В более правильном модельном представлении *субконт*, оттекая от ракии «электрона», устремляется к ракиям «античастиц», например «позитронов» или «протонов». Далее в ракии «античастицы» *субконт* проваливается в бездно-трещину (см. рис. 2.3.4) и превращается в *антисубконт*. В свою очередь, *антисубконт* оттекает от ракии «античастиц» к ракиям «частиц», в частности, к ракиям «электронов» (рис. 2.3.5).



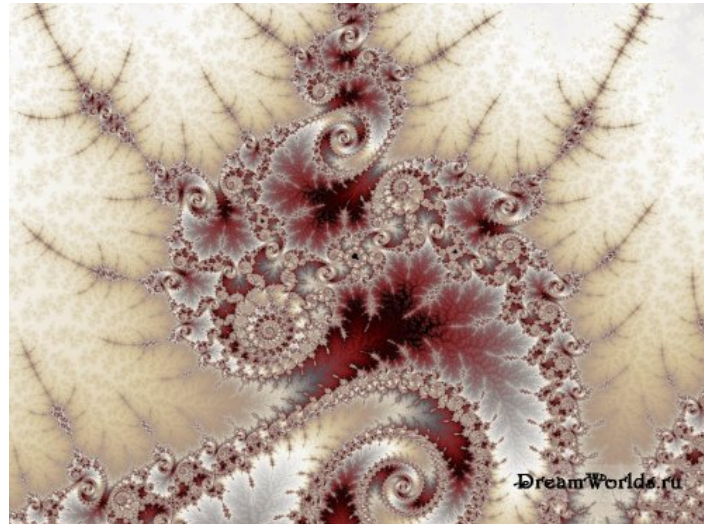
<http://arbutz.uz/>



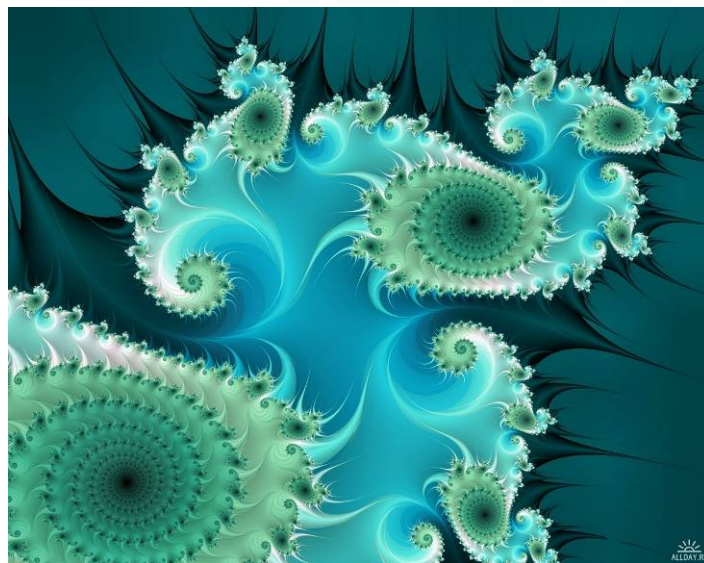
<http://fotki.yandex.ru/>

Ткань взаимосвязей между ядрами «частиц»

Материалисты постоянно задают вопрос о природе субконта и антисубконта. В этом вопросе Алсигна твердо стоит на позициях Внутренней ТОРЫ, Утверждающей, что природа любой субстанциональности проистекает из Желания Высшего Аспекта Бытия. Желание формирует Эмоции ↔ Эмоции выливаются в Напряжения ↔ Напряжения выражаются в Речения ↔ Речь воплощается в кодовую структуру Действия ↔ Действие выражается в Деформациях и Движениях, которые в итоге, проявляются в виде уплотненных и разряженных, подвижных и неподвижных областей субстанциональности. Все формируется относительно точки Зрения Желającego. При этом, как нельзя кстати, оказывается математически аппарат общей теории относительности.



<http://dreamworlds.ru/>



<http://allday.ru/>

Воплощение Желаний.
Фрактальное видение субконт-антисубконтных
взаимосвязей между ядрами «частиц»

2.3.3.3. Ускорение токов во внешней оболочке покоящегося «электрона». Аналог заряда «электрона»

Воспользуемся уравнением (2.3.48) для описания ускорений в стационарно деформированной протяженности $\lambda_{-12 \div -16}$ -вакуума в окрестности ядра покоящегося «электрона».

В метриках (2.3.54) и (2.3.55), описывающих внешнюю оболочку покоящегося «электрона», все смешанные компоненты метрического тензора $g_{0\alpha}^{(-a)}$ и $g_{0\alpha}^{(-b)}$ равны нулю

$$g_{0\alpha}^{(-a)} = 0 \quad \text{и} \quad g_{0\alpha}^{(-b)} = 0. \quad (2.3.80)$$

Поэтому уравнение (2.3.48) для рассматриваемого случая упрощается и принимает вид:

- для ускорения *субконта*:

$$a_{\alpha}^{(-a)} = - \frac{c^2}{\sqrt{1 - \frac{v^{(-a)2}}{c^2}}} \frac{\partial \ln \sqrt{g_{00}^{(-a)}}}{\partial x^{\alpha}} \quad (2.3.81)$$

где

$$v^{(-a)} = \frac{dl}{d\tau} = \frac{\sqrt{-g_{\alpha\beta}^{(-a)} dx^{\alpha} dx^{\beta}}}{\sqrt{g_{00}^{(-a)} dt}}. \quad (2.3.82)$$

- для ускорения *антисубконта*:

$$a_{\alpha}^{(-b)} = - \frac{c^2}{\sqrt{1 - \frac{v^{(-b)2}}{c^2}}} \frac{\partial \ln \sqrt{g_{00}^{(-b)}}}{\partial x^{\alpha}}, \quad (2.3.83)$$

где

$$v^{(-b)} = \frac{dl}{d\tau} = \frac{\sqrt{-g_{\alpha\beta}^{(-b)} dx^{\alpha} dx^{\beta}}}{\sqrt{g_{00}^{(-b)} dt}}. \quad (2.3.84)$$

В рассматриваемом случае скорости (2.3.82) и (2.3.84) имеют следующие компоненты

$$v_r^{(-a)} = \sqrt{\frac{-g_{11}^{(-a)}}{g_{00}^{(-a)}}} \frac{dr}{dt} = \frac{1}{\left(1 - \frac{r_e}{r}\right)} \frac{dr}{dt}, \quad v_\theta^{(-b)} = 0, \quad v_\varphi^{(-b)} = 0. \quad (2.3.85)$$

$$v_r^{(-b)} = \sqrt{\frac{-g_{11}^{(-b)}}{g_{00}^{(-b)}}} \frac{dr}{dt} = \frac{1}{\left(1 + \frac{r_e}{r}\right)} \frac{dr}{dt}, \quad v_\theta^{(-b)} = 0, \quad v_\varphi^{(-b)} = 0. \quad (2.3.86)$$

Представим выражения (2.3.81) и (2.3.83) в виде

$$a_\alpha^{(-a)} = -\gamma^{(-a)} \frac{\partial \ln \sqrt{g_{00}^{(-a)}}}{\partial x^\alpha}, \quad (2.3.87)$$

$$a_\alpha^{(-b)} = -\gamma^{(-b)} \frac{\partial \ln \sqrt{g_{00}^{(-b)}}}{\partial x^\alpha}, \quad (2.3.88)$$

где

$$\gamma^{(-a)} = \frac{c^2}{\sqrt{1 - \frac{v^{(-a)2}}{c^2}}}, \quad \gamma^{(-b)} = \frac{c^2}{\sqrt{1 - \frac{v^{(-b)2}}{c^2}}} \quad (2.3.89)$$

или с учетом (2.3.76) и (2.3.76)

$$\gamma^{(-a)} = \frac{c^2}{\sqrt{1 - \frac{r_e}{r}}}, \quad \gamma^{(-b)} = \frac{c^2}{\sqrt{1 + \frac{r_e}{r}}}. \quad (2.3.90)$$

Сравнивая (2.3.87) и (2.3.88) с (1.9.63) в [8], обнаруживаем, что $a_\alpha^{(-a)}$ и $a_\alpha^{(-b)}$ можно интерпретировать как компоненты вектора $\lambda_{-12\div -16}$ -вакуумной (точнее *субконтной*) напряженности

$$a_\alpha^{(-a)} = E_\alpha^{(-a)} = -\gamma^{(-a)} \frac{\partial \ln \sqrt{g_{00}^{(-a)}}}{\partial x^\alpha}, \quad (2.3.91)$$

$$a_\alpha^{(-b)} = E_\alpha^{(-b)} = -\gamma^{(-a)} \frac{\partial \ln \sqrt{g_{00}^{(-b)}}}{\partial x^\alpha} \quad (2.3.92)$$

(см. гл. 1.9 «Геометризованная вакуумная электродинамика» в [8]).

Подставляя нулевые компоненты $g_{00}^{(-a)} = 1 - r_e/r$ и $g_{00}^{(-b)} = 1 + r_e/r$ (2.3.73) из метрик (2.3.54) и (2.3.55) в выражения (2.3.91) и (2.3.92) с учетом (2.3.90), для рассматриваемого модельного представления внешней оболочки ядра «электрона» получим:

- компоненты вектора *субконтной* напряженности (суть *субконтного* ускорения):

$$E_r^{(-a)} = -\gamma^{(-a)} \frac{\partial \ln \sqrt{(1 - r_e/r)}}{\partial r^*} = -\frac{c^2 r_e}{2r^2 \sqrt{\left(1 - \frac{r_e}{r}\right)}},$$

$$E_\theta^{(-a)} = 0, \quad (2.3.93)$$

$$E_\varphi^{(-a)} = 0.$$

где

$$\frac{\partial}{\partial r^*} = g^{11(-a)} \frac{\partial}{\partial r} = \left(1 - \frac{r_e}{r}\right) \frac{\partial}{\partial r},$$

- компоненты вектора *антисубконтной* напряженности (суть *антисубконтного* ускорения):

$$E_r^{(-b)} = -\gamma^{(-b)} \frac{\partial \ln \sqrt{(1 + r_e/r)}}{\partial r^*} = \frac{c^2 r_e}{2r^2 \sqrt{\left(1 + \frac{r_e}{r}\right)}},$$

$$E_\theta^{(-b)} = 0, \quad (2.3.94)$$

$$E_\varphi^{(-b)} = 0.$$

Согласно геометризованной $\lambda_{-12 \div -16}$ -вакуумной электродинамике (см. гл. 1.9 в [8]), средняя напряженность от (2.3.89) и (2.3.90) определяется выражением

$$E_r^{(-)} = \sqrt{(E_r^{(-a)})^2 + (E_r^{(-b)})^2} = \frac{c^2 r_e \sqrt{2}}{2r^2 \sqrt{1 - \frac{r_e^2}{r^2}}}, \quad (2.3.95)$$

которое при $r \gg r_e$ принимает следующий приближенный вид

$$a_\alpha^{(-)} = E_r^{(-)} \approx \frac{\sqrt{2}}{2} \frac{c^2 r_e}{r^2}. \quad (2.3.96)$$

В классической электродинамике напряженность электрического поля точечного заряда (в частности электрона) в вакууме определяется выражением:

$$E_r = \frac{e}{4\pi\epsilon_0 r^2}, \quad (2.3.97)$$

где

$e = -1,60219 \cdot 10^{-19}$ Кл – заряда электрона;

$\epsilon_0 = 8,85419 \cdot 10^{-12}$ Ф/м – электрическая постоянная.

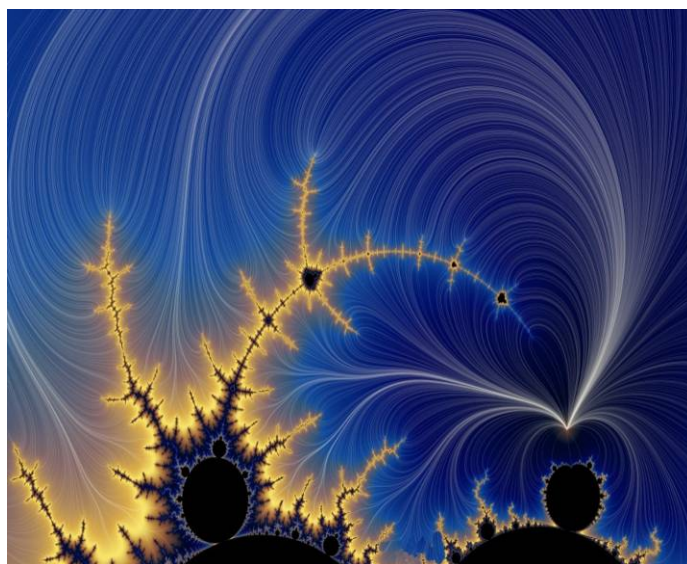
Сравнивая (2.3.96) и (2.3.97), обнаруживаем, что можно установить следующее соответствие между параметрами максвелловской электродинамики и геометризированной *субконт-антисубконтной* динамики

$$\frac{e}{4\pi\epsilon_0} \leftrightarrow \frac{\sqrt{2}}{2} c^2 r_e. \quad (2.3.98)$$

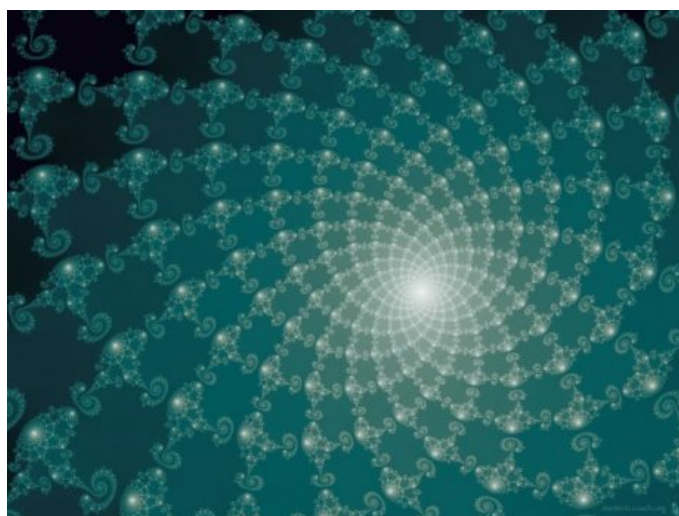


<http://mat-mex.ru/>

Иллюстрация субконт-антисубконтной
напряженности и индуктивности



<http://radikal.ru/>



<http://mat-mex.ru/>

Иллюстрации ускоренных вакуумных токов

Если в классической электродинамике электрический заряд электрона e характеризует интенсивность его электромагнитного взаимодействия с другими частицами, то в геометризированной вакуумной динамике Алсигны эту функцию выполняет r_e (радиус ракии, окружающей ядро «электрона»), который определяет размер горловины *субконт-антисубконтной* воронки (см. рис. 2.3.4), и как следствие этого – интенсивность *субконт-антисубконтного* обменного процесса между ракией «электрона» и ракиями других «частиц» и «античастиц» (см. рис.2.3.4 и рис. 2.3.5).

В рамках данной части Алсигны скорость света c является фундаментальной константой, характеризующей свойства самого плотного вакуума. Поэтому структура стабильных вакуумных образований определяются только радиусами их ракий (т. е. радиусами сферообразных бездно-трещин, см. рис. 2.3.2). В частности, в рамках рассматриваемой модели основные метрико-динамические свойства «электрона» определяются радиусами трех его основных ракий (см. п. 2.3.1):

- R_v – радиусом замкнутой Вселенной, включающей ядро «электрона»;
- r_e – радиусом самого ядра «электрона»;
- d_e – радиусом внутреннего субъядрышка, находящегося внутри рассматриваемого ядра «электрона».

Необходимо учитывать, что в Мире, созданном ТВОРЦОМ по образу Иерархии Духовных Структур, ядро «электрона» входит в состав атомов, организмов, планет, галактик и Вселенной. Поэтому при более полном рассмотрении следует учитывать, что на ракию «электрона» оказывают влияние все эти замкнутые структуры.

Алгебра сигнатур полагает, что перенапряжение участка вакуумной приводит к резкому изменению его топологических и метрико-динамических свойств. При превышении порога устойчивости вакуум сворачивается в устойчивые топологически замкнутые узловое образования островного типа, которые отождествляются с частицами и античастицами.

Превышение скорости локального внутривакуумного процесса скорости света может привести к детонации вакуума, т. е. к катастрофическому взрыву с выделением колоссального количества энергии космического масштаба.

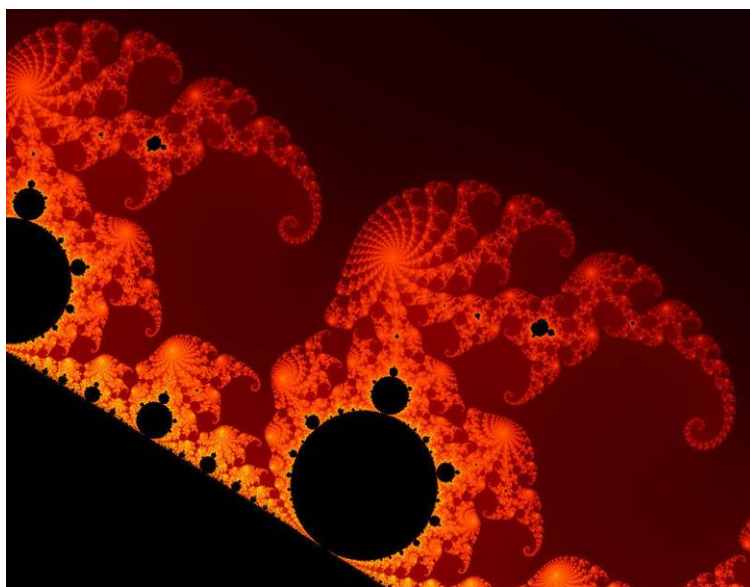
С другой стороны, нарушение глубинной кодовой («генной») структуры локального участка вакуума способно вызвать «воспаление» и «гниение» его телесности, перерастающие в «раковую опухоль», метастазы которой могут распространиться по лицу всей Вселенной.



<http://www.topnews.ru/>
Хромосома – сложнейшее вакуумное образование

Неосторожные опыты с Вакуумом могут привести к тотальному уничтожению всего живого. Поэтому развитие вакуумных технологий должно сопровождаться кардинальным пересмотром роли человека в Природе и повышением его ответственности перед Мирозданием.

Нам необходимо привыкать к мысли, что в Природе нет ничего неживого. В каждой былинке естества ежесекундно закручиваются миллиарды метаболитических вихрей, и вся эта многоуровневая Бездна очень сложно и гармонично переплетенных токов Живого Бытия направлена к единой Цели, Намеченной ТВОРЦОМ. Нарушение гармонии Вселенной – это хуль на АШЕМ (осквернение Имени ТВОРЦА).



www.secondrussia.ru



www.daler.ru



<http://www.liveinternet.ru/>

2.3.3.4. Поляризация волновых возмущений во внешней оболочке «электрона»

Рассмотрим распространение волновых возмущений в радиальном направлении от ядра «электрона». Напомним, что в Алсигне волновое возмущение вакуумной протяженности описывается парой волна-антиволна, объединенных в рамках единой конструкции – двухкомпонентного спинора (см. п. 1.4.3 в [8])

$$\begin{pmatrix} \bar{a}_+^* e^{i\frac{2\pi}{\lambda}(ct-r)} & \bar{a}_-^* e^{-i\frac{2\pi}{\lambda}(ct-r)} \end{pmatrix}. \quad (2.3.99)$$

Свойства протяженности, например субконта, в которой имеет место распространение волнового возмущения, в этом случае описывается спинтензором вида (2.3.53)

$$\begin{pmatrix} \sqrt{1-\frac{r_e}{r}} + \frac{1}{\sqrt{1-\frac{r_e}{r}}} & r \sin \theta + ir \\ r \sin \theta - ir & \sqrt{1-\frac{r_e}{r}} - \frac{1}{\sqrt{1-\frac{r_e}{r}}} \end{pmatrix} = \\ = \begin{pmatrix} \sqrt{1-\frac{r_e}{r}} & 0 \\ 0 & \sqrt{1-\frac{r_e}{r}} \end{pmatrix} + \begin{pmatrix} \frac{1}{\sqrt{1-\frac{r_e}{r}}} & 0 \\ 0 & -\frac{1}{\sqrt{1-\frac{r_e}{r}}} \end{pmatrix} + \begin{pmatrix} 0 & ir \\ -ir & 0 \end{pmatrix} + \begin{pmatrix} 0 & r \sin \theta \\ r \sin \theta & 0 \end{pmatrix}, \quad (2.3.100)$$

детерминант которого в итоге так же сводится к метрике (2.3.16).

Продельвая формальные процедуры с конструкцией:

$$\begin{pmatrix} \bar{a}_+^* e^{i\frac{2\pi}{\lambda}(ct-r)} & \bar{a}_-^* e^{-i\frac{2\pi}{\lambda}(ct-r)} \end{pmatrix} \begin{pmatrix} \sqrt{1-\frac{r_e}{r}} + \frac{1}{\sqrt{1-\frac{r_e}{r}}} & r \sin\theta + ir \\ r \sin\theta - ir & \sqrt{1-\frac{r_e}{r}} - \frac{1}{\sqrt{1-\frac{r_e}{r}}} \end{pmatrix} \begin{pmatrix} \bar{a}_+ e^{-i\frac{2\pi}{\lambda}(ct-r)} \\ \bar{a}_- e^{i\frac{2\pi}{\lambda}(ct-r)} \end{pmatrix}, \quad (2.3.101)$$

получим следующие проекции вектора спина \mathbf{s} , рассматриваемого вакуумного возмущения на оси r , θ , φ

$$\langle s_r \rangle = \begin{pmatrix} \bar{a}_+^* e^{i\frac{2\pi}{\lambda}(ct-r)} & \bar{a}_-^* e^{-i\frac{2\pi}{\lambda}(ct-r)} \end{pmatrix} \begin{pmatrix} \frac{1}{\sqrt{1-\frac{r_e}{r}}} & 0 \\ 0 & -\frac{1}{\sqrt{1-\frac{r_e}{r}}} \end{pmatrix} \begin{pmatrix} \bar{a}_+ e^{-i\frac{2\pi}{\lambda}(ct-r)} \\ \bar{a}_- e^{i\frac{2\pi}{\lambda}(ct-r)} \end{pmatrix} = \frac{1}{\sqrt{1-\frac{r_e}{r}}} (|\bar{a}_+|^2 - |\bar{a}_-|^2), \quad (2.3.102)$$

$$\langle s_\theta \rangle = \begin{pmatrix} \bar{a}_+^* e^{i\frac{2\pi}{\lambda}(ct-r)} & \bar{a}_-^* e^{-i\frac{2\pi}{\lambda}(ct-r)} \end{pmatrix} \begin{pmatrix} 0 & ir \\ -ir & 0 \end{pmatrix} \begin{pmatrix} \bar{a}_+ e^{-i\frac{2\pi}{\lambda}(ct-r)} \\ \bar{a}_- e^{i\frac{2\pi}{\lambda}(ct-r)} \end{pmatrix} = ir \left[\bar{a}_+^* \bar{a}_- e^{i\frac{4\pi}{\lambda}(ct-r)} - \bar{a}_-^* \bar{a}_+ e^{-i\frac{4\pi}{\lambda}(ct-r)} \right], \quad (2.3.103)$$

$$\langle s_\varphi \rangle = \begin{pmatrix} \bar{a}_+^* e^{i\frac{2\pi}{\lambda}(ct-r)} & \bar{a}_-^* e^{-i\frac{2\pi}{\lambda}(ct-r)} \end{pmatrix} \begin{pmatrix} 0 & r \sin\theta \\ r \sin\theta & 0 \end{pmatrix} \begin{pmatrix} \bar{a}_+ e^{-i\frac{2\pi}{\lambda}(ct-r)} \\ \bar{a}_- e^{i\frac{2\pi}{\lambda}(ct-r)} \end{pmatrix} = r \sin\theta \left(\bar{a}_+^* \bar{a}_- e^{i\frac{4\pi}{\lambda}(ct-r)} + \bar{a}_-^* \bar{a}_+ e^{-i\frac{4\pi}{\lambda}(ct-r)} \right). \quad (2.3.104)$$

Начальные фазы сопряженной пары колебаний (2.3.99) учитываются комплексностью амплитуд a_+ и a_- . Поэтому, не ограничивая общности, можно положить $\varphi_+ = \varphi_- = 0$, т. е. считать a_+ и a_- вещественными числами.

В этом случае формулы (2.3.102) – (2.3.104) приобретают следующий упрощенный вид:

$$\langle s_r \rangle = \frac{1}{\sqrt{1 - \frac{r_e}{r}}} (|a_+|^2 - |a_-|^2),$$

$$\langle s_\theta \rangle = 2a_+ a_- r \sin \left[\frac{4\pi}{\lambda} (ct - r) \right] = 2a_+ a_- r \sin [2(t\omega - kr)], \quad (2.3.105)$$

$$\langle s_\varphi \rangle = 2a_+ a_- r \sin \theta \cos \left[\frac{4\pi}{\lambda} (ct - r) \right] = 2a_+ a_- r \sin \theta \cos [2(t\omega - kr)].$$

При равенстве амплитуд прямой и обратной волн

$$a_+ = a_-$$

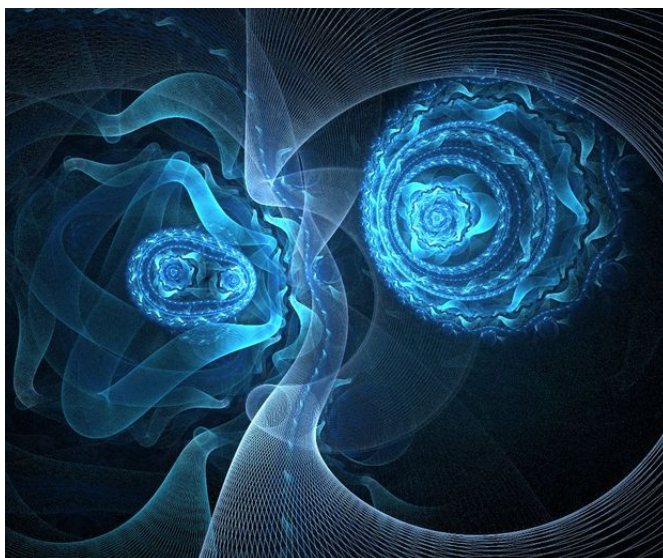
вместо уравнений (2.3.105) получим следующие усредненные проекции спина

$$\langle s_r \rangle = 0,$$

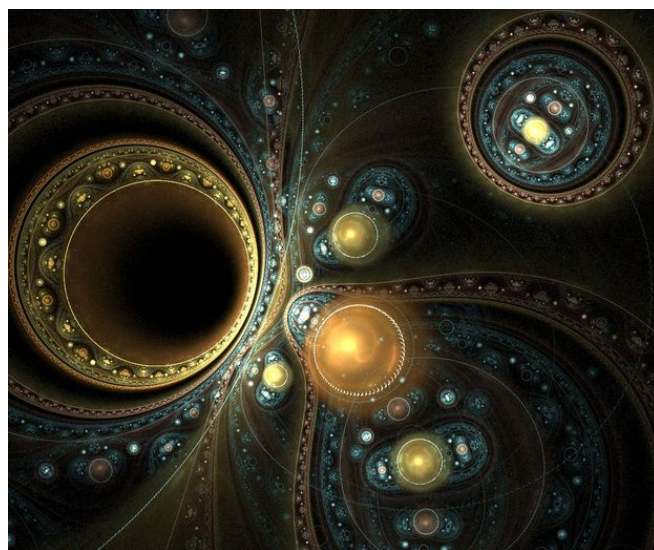
$$\langle s_\theta \rangle = 2a_+^2 r \sin [2(t\omega - kr)], \quad (2.3.106)$$

$$\langle s_\varphi \rangle = 2a_+^2 r \sin \theta \cos [2(t\omega - kr)],$$

откуда видно, что усредненный вектор спина волнового вакуумного возмущения вращается в плоскости перпендикулярной направлению его распространения, а его величина увеличивается прямо пропорционально расстоянию r от ядра «электрона». Таким образом, конец усредненного вектора спина описывает спираль, сходящуюся к ракии, окружающей ядро «электрона».



<http://www.topic.lt/>



<http://www.topic.lt/>

Мир «частиц»